



Article

# Hydroxypropyl-β-cyclodextrine réticulée par vapeur Membranes nanofibreuses électrofilées pour une élimination ultra-rapide des colorants

Xinmiao Xu, Yi Zhang, Yong Chen\* et Yu Liu\*

Collège de chimie, Laboratoire clé d'État de chimie élémento-organique, Université de Nankai, Tianjin 300071, Chine \*

Correspondance: chenyong@nankai.edu.cn (YC); yuliu@nankai.edu.cn (YL)

Résumé : Les membranes de séparation traditionnelles utilisées pour l'élimination des colorants souffrent souvent d'un compromis entre l'efficacité de la séparation et la perméabilité à l'eau. Nous proposons ici une approche simple pour préparer des membranes de nanofibres à haut flux à base de cyclodextrine par électrofilage et processus de réticulation entraînés par la vapeur. L'application de vapeur de glutaraldéhyde pour réticuler les membranes électrofilées d'hydroxypropyl-β-cyclodextrine (HP-β-CD)/alcool polyvinylique (PVA)/laponite peut construire des structures interconnectées et conduire à la formation d'une couche hiérarchique poreuse. De plus, l'incorporation de sel inorganique, laponite, peut modifier le processus de réticulation, ce qui donne lieu à des membranes présentant une hydrophilie améliorée et une morphologie nanofibreuse électrofilée hautement maintenue, ce qui contribue à un flux d'eau ultrarapide de 1,0 × 105 Lh-1m-2bar-1 . En raison de l'effet synergique d'une forte interaction hôte-invité et d'une interaction électrostatique, les membranes présentent un rejet approprié des colorants anioniques avec une efficacité d'élimination élevée de > 99 % en peu de temps et permettent une séparation précise des colorants cationiques contre anioniques, accompagnée d'une recyclabilité appropriée. avec une efficacité de séparation > 97 % après au moins quatre séparations-régénérations. Les membranes préparées, dotées d' une efficacité de séparation remarquable et de propriétés de perméation ultrarapides, pourraient constituer un candidat prometteur pour les membranes hautes performances dans le traitement de l'eau.

Mots clés : cyclodextrine ; adsorption supramoléculaire; électrofilage; membranes nanofibreuses ; perméation ultrarapide



Citation: Xu, X.; Zhang, Y.; Chen, Y.;
Liu, Y. Membranes nanofibreuses
électrofilées d'hydroxypropyl-βcyclodextrine réticulées par vapeur pour
une élimination ultra-rapide des
colorants. Chimie 2024, 6, 506-516.
https://doi.org/10.3390/chemistry6040029

Reçu : 22 mai 2024 Révisé : 19 juin 2024 Accepté : 21 juin 2024 Publié : 25 juin 2024



Copyright: © 2024 par les auteurs. Licencié MDPI, Bâle, Suisse. Cet article est un article en libre accès distribué selon les termes et conditions des Creative Commons Licence d'attribution (CC BY) (https:// creativecommons.org/licenses/by/ 4.0/).

### 1. Introduction

De nombreux colorants organiques synthétiques utilisés dans les industries alimentaires, cosmétiques, du cuir et du textile sont mutagènes et cancérigènes [1,2]. Les écosystèmes aquatiques et la santé humaine sont sérieusement menacés par les rejets généralisés d'effluents de colorants liés à la montée rapide de l'industrialisation [3]. Il est très important de trouver des techniques efficaces d'élimination des colorants pour le traitement des eaux usées. De nombreuses tactiques, telles que l'oxydation chimique [4], la dégradation biologique [5] et l'adsorption [6,7], ont été étudiées en profondeur. Parmi celles-ci, la technologie de séparation par membrane suscite de plus en plus d'intérêt en raison de son prix abordable, de sa commodité et de son absence de pollution [8]. En conséquence, de grands efforts sont déployés pour créer des membranes hautes performances

présentant simultanément un fort rejet et un flux élevé [9,10]. La β-cyclodextrine (β-CD), peu coûteuse et durable, possède une cavité hydrophobe pour former des complexes d'inclusion stables avec certaines molécules organiques via des interactions hôte-invité et est largement utilisée dans l'adsorption de polluants (11-14). De plus, en utilisant le principal élément constitutif des membranes, la microporosité intrinsèque du β-CD peut permettre une séparation précise par exclusion de taille et servir de canal de transport d'eau supplémentaire (15, 16). Peinemann et coll. a développé une méthode avec des per-6-amino-β-CD au lieu de diamine réagissant avec le chlorure de téréphtaloyle pour former une couche de séparation à base de cyclodextrine par polymérisation interfaciale, qui a montré une perméabilité sélective de forme précise et une perméance à l'eau de 20 Lm-2h -1bar -1 [17]. Cependant, ces membranes réticulées à base de CD produites par des réactions traditionnelles de polymérisation interfaciale en solution sont encore trop denses pour permettre un transport rapide du solvant [18-

perméabilité et une perméance à l'eau de 20 Lm-2h-1bar-1 [17]. Cependant, ces membranes réticulées à base de CD produites par des réactions traditionnelles de polymérisation interfaciale en solution sont encore trop denses pour permettre un transport rapide du solvant [18-21].

Les méthodes générales pour coordonner la perméabilité à l'eau des membranes comprennent l'amélioration de l'hydrophilie de la surface de la membrane [22, 23], l'introduction d'un canal de transfert d'eau. Les méthodes nel [24/626]alet enour um meintanet la penfaéa bispé à l'heau ed 26 in le l'ébeant est ilangen enn tant que méthode polyvalente et amédinordan félőryrtronjállie pleula pszorfladae ditelsa mesmitorrames! 20e Adah jörflordsi asretum tramadeit diegoport longueurdiameètro pélevéi (2a) ustabet, augmentam pla raupta serie péraitique d'ambin de les trofil tagien comman quant and expoly valuent e rockhinderkon i 1281 ique 1200 Donathire stedifficite de automorphiere et eigen viscoside eur di albitetrofilage, tandis que stry dappy part of salt to the control and the egelityiselekismanidi serekungi beraserekungi beraserekungi seriki kung Politikan kanakung serekungi kepang serekungi kepang kep aucapariti wata katiki na sarati auta na sarati an mana ang sarati na sarati રાષ્ટ્રક પ્રાતાના કરાતા કરતા કારણ કરતા કારણ કરતા કરતા કરતા કારણ કરતા કરતા કારણ કરતા કરતા કરતા કરતા કરતા કરતા ક les nanofitres étectrolifics rotarosanoles éticulations transcione (3A) et la réticulation et primieure la la reconstruction de la reco <del>ประสารปรัชธ ชายท่องปองยา เรื่อง เรื่อง เรื่อง สามารถ เรื่อง เรียง เรียง เรียง เรื่อง เรื่อง เรื่อง เรื่อง เรียง เ</del> GAN COMPARATE THE REPORT OF THE PROPERTY OF TH Pagament s Divatris Bata and utilisant law area and sellut a solling the Cane, and a mediore la commodité de la réticulation neut réduire considérablement la somple vité opérationnelle et éliminer le besoin permet d'éliminer les solvants accessibilité et de durabilité [33-35]. Plus important encore, la réticulation en phase vapeur dans la mesure du possible et creer une structure interconhectee, qui augmente la quantité est suffisamment douce pour préserver au maximum la morphologie des nanofibres hydrosolubles des canaux de transport d'eau et accèlere l'écoulement de l'éau 136-361, dans la

mesure.du possible et créer.une structure interconnectée, qui augmente la quantité d'eau tant donne que l'incorporation de sel inorganique peut encore améliorer l'hydrophilie, nous l'égisement de les pontes de la ponte de l'es duraces al gestives en forme de disque et des bords positifs, dans la mesure où l'incorporation de sel inorganique peut encore améliorer l'hydrophilie, nous les membranes 134 401. Ici, nous avons electronite du HP 3=00, un PVA et de la laponite sur de la laponite es ur de la laponite sur de la laponite es ur de la laponite sur de la laponite es ur de la laponite en polyacrylique, une argile bon marché avec des surfaces négatives en forme de disque et des bords positifs, en substitut d'electronite de l'electronite de l'

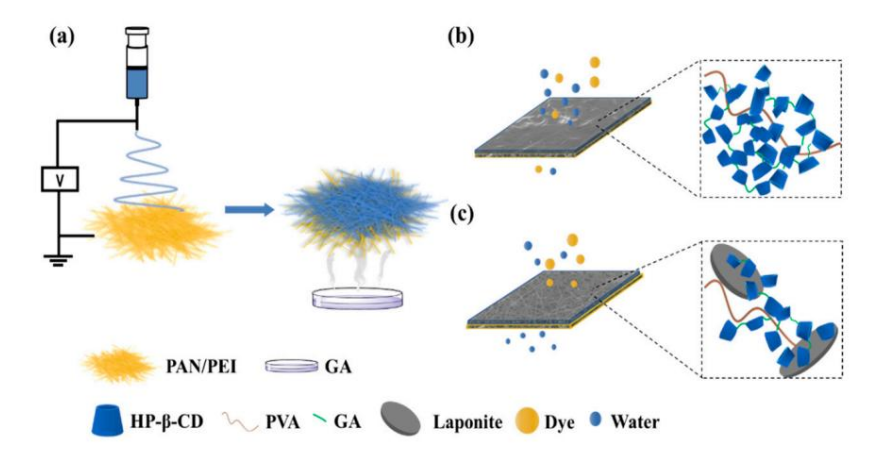


Figure 1. (a) Illustration schématique de la préparation de membranes nanofibreuses HP-β-CD . Schématique illustration du procédé de réticulation et de filtration des eaux usées des CD-CNF (b) sans laponite et (c) avec de la laponite.

#### 2. Matériels et méthodes

#### 2.1 Matériaux

Tous les réactifs ont été utilisés sans autre purification. Polyacrylonitrile (PAN, Mw moyen = 150 000), polyéthylèneimine (PEI, Mw moyen = 45 000, solution aqueuse à 50 %), alcool polyvinylique (PVA, hydrolysé à 99 %, degré de polymérisation = 1 700), hydroxypropyl  $\beta$ -cyclodextrine (HP- $\beta$ - CD, degré de substitution moyen = 7, Mw = 1 541,54), la laponite, le glutaraldéhyde (GA, solution aqueuse à 25 %) et la protéine sérique bovine (BSA) ont été achetés auprès de Macklin Reagent Co., Ltd. (Tianjin, Chine). La tropaeolin O, le carmin d'indigo, la carmoisine , le Direct Yellow 12, le Reactive Black 5, le Basic Red 2, la Rhodamine B, le Crystal Violet et la Thioflavine T ont été achetés auprès d'Aladdin Reagent Company.

### 2.2. Préparation de membranes nanofibreuses

Électrofilage : 9,6 % p/v de PAN et 2,4 % p/v de PEI ont été dissous dans du N, N-diméthylformamide (DMF) et agités pendant 6 h à 80 °C pour préparer une solution homogène. Un total de 8 mL de la solution a été chargé dans une seringue équipée d'un calibre 20 avec un débit de 4 mLh-1.

, et une haute tension (15 kV) a été appliquée. La distance entre la seringue et le collecteur recouvert d'une feuille d'aluminium (AI) était de 20 cm et la vitesse de rotation du collecteur cylindrique était de 125 tr/min. Un total de 1 g de HP-β-CD, 80 mg de PVA et différents poids de laponite, 0 mg, 10 mg, 20 mg et 30 mg, correspondant au rapport pondéral à HP-β-CD de 0, 1 %, 2 % et 3 % ont été dissous dans 2 ml d'eau déminéralisée et agités pendant une nuit, respectivement. Les solutions ci-dessus ont été transférées dans la seringue avec un calibre 23 et électrofilées directement sur la feuille d'aluminium recouverte de PAN/PEI. La tension a été fixée à 25 kV et le débit à 1 mL h-1 . En fonction de la proportion de laponite par rapport à HP-β-CD, les quatre types de membranes ont été désignés par CD/PVA/Lap0, CD/PVA/Lap1%, CD/PVA/Lap2% et CD/PVA/Lap3%.

Un total de 20 ml de solution de GA (solution aqueuse à 25 %) dans une boîte de Pétri ont été placés dans un dessiccateur sous vide, et les nanofibres électrofilées obtenues sur une feuille d'aluminium ont été recouvertes au-delà de la boîte de Pétri sans toucher la solution. Après avoir appliqué le vide pendant 24 h, les membranes ont été retirées de la feuille, lavées avec de l'eau déminéralisée pendant plusieurs minutes et séchées sous vide à 50 °C pendant une nuit. Les membranes réticulées étaient représentées par CD-CNF1 (CD/PVA/Lap0), CD-CNF2 (CD/PVA/Lap1 %), CD-CNF3 (CD/PVA/Lap2 %) et CD-CNF4 (CD/PVA/Lap0). Tour3%).

### 2.3. Méthodes de caractérisation

a été utilisé pour acquérir les morphologies de surface des membranes nanofibreuses. Une fine couche d'or a été appliquée sur la couche pour augmenter la conductivité. La tension d'accélération était de 30 kV. Les diamètres moyens des fibres ont été mesurés avec le logiciel Image J 1.46 r. Un spectromètre IR à transformée de Fourier (Bruker Tensor II, Ettlingen, Allemagne) a été utilisé pour obtenir les spectres IR d'échantillons compris entre 4000 et 400 cm−1 à température ambiante. La spectroscopie photoélectronique à rayons X (XPS) a été réalisée sur un instrument (Kratos Analytical Ltd.-Axis Ultra DLD, Manchester, Royaume-Uni) équipé d'une source de rayons X Al Kα monochromatisée . Les données ont été analysées avec le logiciel CASA XPS (numéro de version Casa2319PR1-0).

Un microscope électronique à balayage à émission de champ (Merlin Compact, Oberkochen, Allemagne)

L'analyse thermogravimétrique (TGA) a été réalisée sur un analyseur thermogravimétrique (NET- ZSCH, Selb, Allemagne) dans la plage de température de 25 à 800 °C à une vitesse de chauffage de 10 °C/min avec du N2 comme gaz de purge à un débit de 25 mL d'angle min-1 (WCA) a été déterminé à . Le contact avec l'eau l'aide d'un goniomètre constitué d'un analyseur (Dataphysics OCA20, Filderstadt, Allemagne). La charge de surface des membranes a été évaluée par analyse du potentiel zêta à l'aide d'un instrument SurPASS 3 Electrokinetic Analyser.

# 2.4. Études de perméation de l'eau

La méthode gravimétrique par sorption d'eau a été utilisée pour évaluer la porosité totale des membranes préparées. Les membranes ont été découpées en morceaux de 10 mm x 10 mm. Le poids séché (Wd) a été pris, puis les membranes ont été trempées dans de l'eau DI pendant 24 h. Après

en épongeant légèrement la surface de la membrane avec du papier filtre pour éliminer l'eau, le poids des membranes humides (Ww) a été pris. Le pourcentage de teneur en eau des membranes a été calculé à l'aide de la formule

Teneur en eau % = 
$$\times 1000 \frac{\text{Ww} - \text{Wd}}{\text{sed}}$$
 (1)

Après trempage dans de l'eau déminéralisée pendant 24 h, les membranes ont été découpées en carrés de 20 mm × 20 mm . Les membranes ont été prépressurisées pendant 10 min à 1 bar pour stabiliser le débit. De l'eau pure et des solvants organiques, notamment de l'alcool éthylique, de l'éther de pétrole et du dichlorométhane, ont été appliqués pour l'analyse des performances. Le débit de perméat (J) pour toutes les membranes préparées a été calculé à l'aide de l'équation (2).

$$J = t - \frac{Q}{UNE}$$
 (2)

où Q désigne le volume de soluté perméable (en L), t est le temps nécessaire à la perméation (en h) et A désigne la surface de filtration effective des membranes (en m2).

#### 2.5. Expériences de filtration de colorants

Une série d'expériences de filtration ont été réalisées avec un noyau de sable sans issue d'un dispositif de filtre à micro-solvant utilisant une pompe à vide. Les cinq types de colorants anioniques impliquaient l'Indigo Carmine, le Tropaeolin O, le Reactive Black 5, le Direct Yellow 12 et la Carmoisine, et les quatre types de colorants cationiques comprenaient le Basic Red 2, le Crystal Violet, la Rhodamine B et la Thioflavine T. La zone efficace de les membranes était de 1,77 cm2 . La concentration du colorant a été fixée à 25 µM et le volume de la solution d'alimentation était de 5 ml. La recyclabilité des membranes a également été évaluée en utilisant les cinq types de colorants anioniques ci-dessus (10 µM), et la solution d'alimentation était de 20 ml à chaque fois. Après filtration, les membranes ont été trempées dans une solution de NaOH à 1 mol/L, oscillées pendant 5 min et rincées à l'ea Les cycles de filtration/régénération ont été répétés quatre fois.

Des expériences antisalissure ont été réalisées en utilisant une solution aqueuse de BSA (500 ppm) comme modèle d'encrassement à 1 bar. Un total de 40 ml de solution d'alimentation BSA à 500 ppm a été appliqué à chaque fois pour atteindre le flux de perméat, et les membranes ont été lavées avec de l'eau déminéralisée pendant une minute. Les processus ont été répétés quatre fois. Le flux d'eau initial a été choisi comme Jw et le flux après un cycle a été choisi comme J0. Le flux d'eau après lavage à l'eau pure a été noté Jw,1. Les performances de toutes les membranes ont été étudiées pendant 4 cycles.

À l'aide des équations (3) et (4), les valeurs de flux obtenues ont été utilisées pour estimer le pourcentage d'encrassement total (FT) % et le pourcentage de taux de récupération (FRR) %.

$$PI(\%) = \frac{Jw - J0}{Jw} \times 100 \tag{3}$$

$$TRF(\%) = \frac{Jw,1}{Jw} \times 100 \tag{4}$$

### 3. Résultats

# 3.1. Caractérisations structurelles et morphologiques des CD-CNF Les

spectres FTIR des membranes CD/PVA/Lap0, CD-CNF1, CD-CNF2, CD-CNF3 et CD-CNF4 sont présentés à la figure 2a. L'adsorption par vibration d'étirement du Mg-OH de la laponite a émergé à 655 cm−1 dans les membranes CD-CNF2, CD-CNF3 et CD-CNF4. De plus, le pic caractéristique de 2240 cm−1 de -C≡N dans la couche de substrat est apparu dans CD-CNF2, CD-CNF3 et CD-CNF4, provoqué par le processus d'électrofilage participant à la laponite, qui a créé des défauts de surface. À l'exception de CD/PVA/Lap0, un nouveau pic à 2 820 cm−1 est apparu dans les CD-CNF appartenant à la vibration d'étirement du CH dans la liaison acétal, et l'adsorption par étirement de OH à 3 200–3 600 cm−1 a diminué, indiquant que le Les groupes hydroxyle dans HP-β-CD et PVA ont réagi avec les groupes aldéhyde de GA. Les sommets

est apparu dans les CD-CNF appartenant à la vibration d'étirement du CH dans la liaison acétal, et l'adsorption par étirement de OH à 3 200–3 600 cm-1 a diminué, indiquant que les groupes hydroxyle

dans HP-β-CD et PVA ont réagi avec les groupes aldéhyde. de GA. Les pics à 1 030 cm-1, 1 252 cm-1 et 586 cm-1 attribués à HP-β-CD étaient presque inchangés, à 1 030 cm-1 1252 cm-1, et 586 cm-1 attribués à HP-β-CD étaient presque inchangés indiquant que la structure caractéristique de la cyclodextrine persiste après la reticulation. Af- indiquant que la structure caractéristique de la cyclodextrine persiste après la reticulation. Af- indiquant que la structure caractéristique de la cyclodextrine persiste après réticulation la vibration Après avoir été ter étant traité par la vapeur GA, le pic d'adsorption à 1729 cm-1 attribué au pic vibra- pour le carbonyle est apparu, la vula membrane sans laponite (CD-CNF1) a montré le pic de concentration pour le carbonyle, là où la membrane sans laponite (CD-CNF1) a montré la plus élèvée, demontrant que le sel dopé pourrait empêcher la réticulation

passage de la membrane. De plus, dans les résultats FTIR du substrat PAN/PEI avant et après le processus de la membrane. De plus, dans les résultats FTIR du substrat PAN/PEI avant et Traitement GA (Figure S1), le pic attribué au groupe -NH à 1561 cm-1 à I¹I.-P.-E. après traitement GA (Figure S1), le pic attribué au groupe -NH à 1561 cm-1 à I¹I.-P.-E. après traitement GA (Figure S1), le pic attribué au groupe -NH à 1561 cm-1 à I¹I.-P.-E. apparu, suggérant que la réaction de réticulation se produit dans la membrane du substrat. Dans la disparition, ce qui suggère que la réaction de réticulation se produit dans la membrane du substrat. Dans Resultats I GA (Figure 2b), l'evaporation des solvants, y compris le DIMF et l'eau, a provoque les resultats I GA (Figure 2b), l'evaporation des solvants, y compris le DIMF et l'eau, a provoque les resultats I GA (Figure 2b), l'evaporation des solvants, y compris le DIMF et l'eau, a provoque les resultats I GA (Figure 2b), l'evaporation des solvants, y compris le DIMF et l'eau, a provoque les resultats I GA (Figure 2b), l'evaporation des solvants, y compris le DIMF et l'eau, a provoque les resultats I GA (Figure 2b), l'evaporation des solvants, y compris le DIMF et l'eau, a provoque les resultats of membranes CD-CNF étaient dotées d'une meilleure température thermique de HP-B-CD. Toutes les membranes CD-CNF étaient dotées d'une meilleure resistance thermique bilité que CD/PVA/Lapo, et CD-CNF1 s'est montré meilleur compte tenu de la stabilité du stade de perte de poids d'une de la poide des CD-CNF et l'en montré que les stabilités thermique de CD-CNF et s'estime entre 350 °C et 400 °C. Les résultats ont montré que les stabilités de laponite.

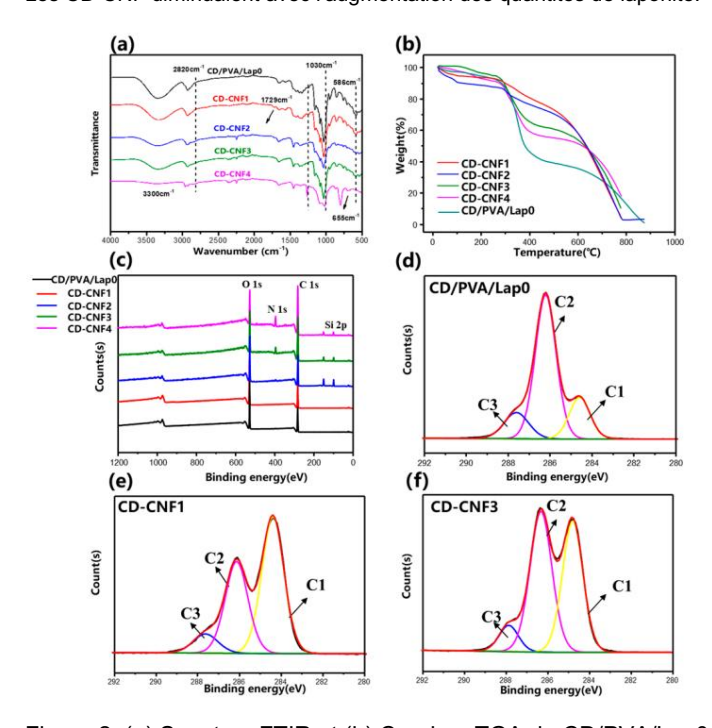


Figure 2. (a) Spectres FTIR et (b) Courbes TGA de GP/VXL/Lad et G-Prix (c) Spectres et aga y 368 i spectres xxx déconvolués au niveau dendase es 1 sou (u) dispervolués au niveau pour es avoir et de compour de

Afin d'acquérir un apercu du processus de réticulation, la spectroscopie photoélectronique à rayons X a été appliquée. Les résultats de l'analyse large de CD/PVA/Lap0 (Figure 2c) ont montré que dans la troscopie à été appliquée. Les résultats de l'analyse large de CD/PVA/Lap0 (Figure 2c) ont montré que dans la troscopie à été appliquée. Les résultats d'analyse large de CD/PVA/Lap0 (Figure 2c) ont montré que dans la troscopie à été appliquée. Les résultats d'analyse large de CD/PVA/Lap0 (Figure 2c) ont montré que dans toutes les membranes, les principaux pics de C 1 et O 1 sont apparus à 285 eV et 532 eV. L'élément loutes membranes confiondues, les principaux pics de C 1 et O 1 sont apparus à 285 eV et 532 eV. L'élément l'ele-Sia été détecté à 150 eV et 99,7 eV sur les membranes avec ajout de laponite, ment Si a été détecté à 150 eV et 99,7 eV sur les membranes avec lajout de laponite. Ment Si a été détecté à 150 eV et 99,7 eV sur les membranes avec lajout de laponite. CD-CNF3 et CD-CNF4, le pic d'énergie de liaison à 400 eV attribué à l'élément N du substrat ont entre de défauts de surface. Le pic d'énergie de liaison à 400 eV attribué à l'élément N du substrat ont emerge, confirmant l'existence de défauts de surface dans la couche HP-3-CD. Les spectres déconvolués de niveau de base C 1s XPS de CD/PVA/Lap0 dans la couche HP-3-CD. Les spectres déconvolués de niveau de base C 1s XPS de CD/PVA/Lap0 dans la couche HP-3-CD. Les spectres déconvolués de niveau de base C 1s XPS de CD/PVA/Lap0 de CD-CNF ont démontré (Figure 2d – f; Figure S3a, b) qu'après réticulation, C1 (CC, Les CD-CNF ont démontré (Figure 2d – f; Figure S3a, b) qu'après réticulation, C1 (CC, Les CD-CNF) a diminué dans CD-CNF1. Avec le l'intensité maximale de C2 (CO) a diminué dans CD-CNF1. Avec le l'intensité maximale de C2 (CO) a diminué dans CD-CNF1. Avec le l'intensité maximale de C2 (CO) a diminué dans CD-CNF1. Avec le l'intensité maximale de C2 (CD) a diminué dans CD-CNF1. Avec le l'intensité maximale de C2 (CD) a diminué dans CD-CNF1. Avec le l

Les résultats de la microscopie électronique à balayage (MEB) de la morphologie de surface des couches HP- $\beta$ -CD avant et après le traitement à la vapeur GA sont présentés à la figure S4. Avec une hauteur élevée fraction massique de laponite en HP- $\beta$ -CD, le diamètre des nanofibres électrofilées a augmenté

Le processus de réticulation a un impact direct sur la morphologie des membranes.

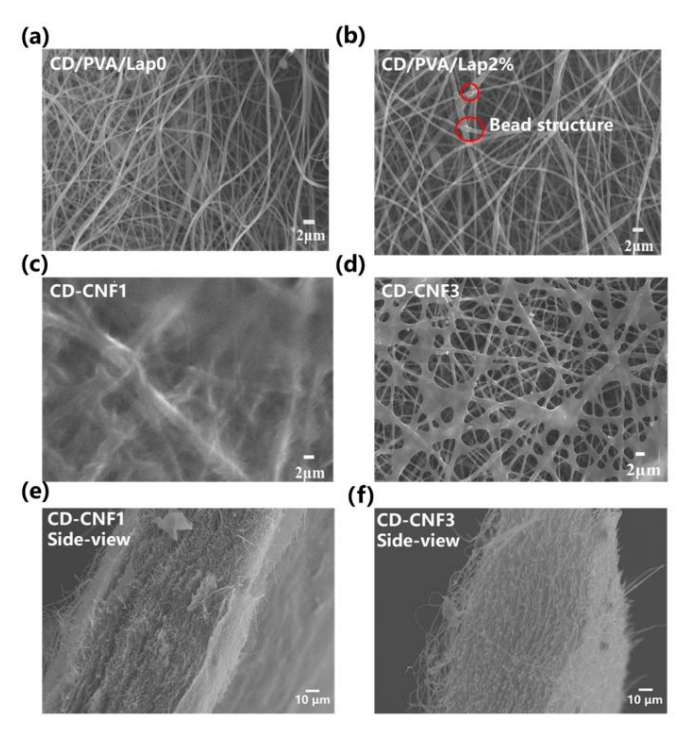
Les résultats de microscopie électronique à balayage (MEB) de la morphologie de surface des couches HP-β-CD avant et après le traitement à la vapeur de GA sont présentés à la figure S4. Avec une fraction massique élevée fabrent en HP-β-CD, le diamètre des nanofibres électrofilées a augmenté (Figure S4e – h). Comparé aux nanofibres uniformes dans CD/PVA/Lap0 (Figure 3a, b), le non- (Figure S4e – h). Comparé aux nanofibres

nanotibres uniformes dans CD/PVA/Lap0 (Figure 3a, b), le non- (Figure 34e – h). Comparé aux nanotibres

Weis Mars file & Ils & 4 a & 6 file & file &

adaptée.
était bien conservé avec une légère fusion après réticulation dans les images SEM du substrat PAN/PEI
strate avantier était par les images sem du substrat PAN/PEI
strate avantier était par les images sem en coupe transversale (Figure S2). D'après les images sem en coupe transversale (Figure S2). D'après les images SEM en coupe transversale (Figure S2). D'après les images SEM en coupe transversale (Figure S2). D'après les images SEM en coupe transversale (Figure S2). D'après les images SEM en coupe transversale (Figure S2). D'après les images SEM en coupe transversale (Figure S2). D'après les images SEM en coupe transversale (Figure S2). D'après les images sem en coupe transversale (Figure S2). D'après les images sem en coupe transversale (Figure S2). D'après les images sem en coupe transversale (Figure S2). D'après les images sem en coupe transversale (Figure S2). D'après les images sem en coupe transversale (Figure S2). D'après les images sem en coupe transversale (Figure S2). D'après les images sem en coupe transversale (Figure S2). D'après les images sem en coupe transversale (Figure S2). D'après les images sem en coupe transversale (Figure S2). D'après les images sem en coupe transversale (Figure S2). D'après les images sem en coupe transversale (Figure S2). D'après les images sem en coupe transversale (Figure S2). D'après les images sem en coupe transversale (Figure S2). D'après les images en coupe transversale (Fi

Figure 3é, f), les membranes CD-CNF1 et CD-CNF3 possédaient des structures tibreuses multicoucnes. Dans structures. Contrairement au film mince dense conventionnel, les membranes présentées, contrairement au film mince dense conventionnel, les membranes présentées sous forme de vésicules lâches 3D. Structures d'éponges vésiculaires lâches 3D a haute porosité, fournissant des structures d'éponges d'eau abondantes à haute porosité, fournissant des canaux de transport d'eau abondants. Dans le canaux de transport. Dans les experiences d'absorption d'eau, qui représentaient la porosité des expériences d'absorption d'eau, qui représentaient la porosité des expériences d'absorption d'eau, qui représentaient la porosité des membranes (Figure S7), la teneur en eau pour CD-CNF2, CD-CNF3 et CD-CNF3 et CD-CNF4 ont été mésurées comme Le CD-CNF4, che mesuré à 14,6 %, 26,1 %, 54,7 % et 116,3 %, respectivement, indiquant respectivement 14,6 %, 26,1 %, 54,7 % et 116,3 %, indiquant une porosité accrue de la membrane. Après trempage dans l'eau pendant trois mois, la morphologie de PAN/PEI, CD-CNF1 et CD-CNF3 (Figure S6) n'ont pas changé avec peu de gonflement, sug-CD-CNF3 (Figure S6) n'a pas changé avec peu de gonflement, suggerant l'eau appropriée assurer la stabilité hydrique appropriée des membranes.



# 3.2. Performances de permétation d'étale tide exist de colorant de CO-ONF

L'inydrophiliteastégatement un fateteu important délè la laprenéabilité l'ateau l'ela vangle de contact a vergle de dun substratubant l'Electroles resuchtisubetratubant l'ela vergle de dun substratubant l'ela vergle de l'ela vergle

les gouttelettes ne pourraient pas exister de manière stable à la surface et s'infiltreraient dans les membranes en quelques secondes ou moins. L'angle de contact avec l'eau au cours des premières 0,5 s a été mesuré à 104,3° pour le substrat PAN/PEI, 69,1° pour CD-CNF1, 63,1° pour CD-CNF2, 45,1° pour CD-CNF3 et 51,5° pour CD-CNF4. La rugosité de la surface a provoqué l'hystérésis de la perméation, et

Les résultats ci-dessus ont démontré que la laponite dopée pouvait améliorer l'hydrophilie des membranes.

l'angle de contact avec l'eau pour CD-CNF4 était supérieur à celui pour CD-CNF3. Les résultats ci-dessus démontré que la laponite dopée pouvait améliorer l'hydrophilie des membranes.

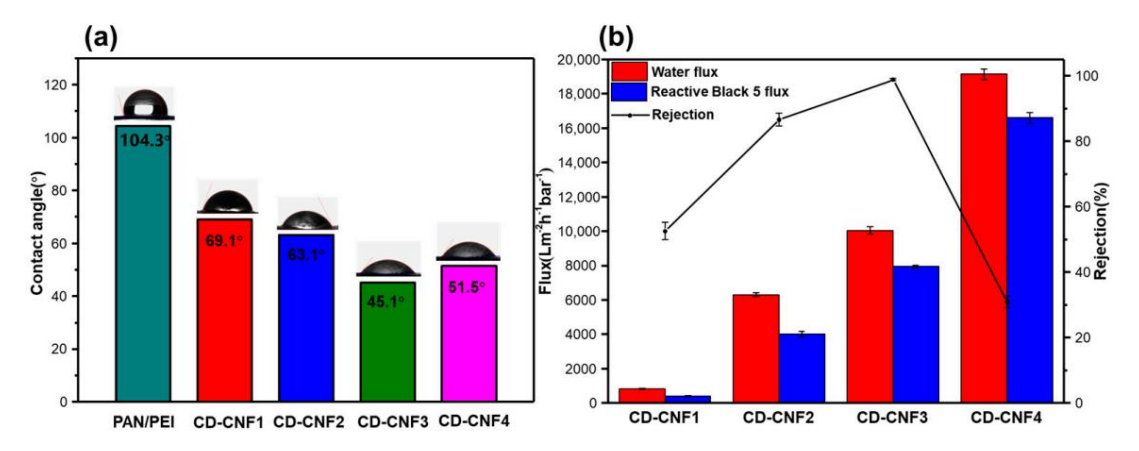


Figure 4. (a) L'angle de contact avec l'eau de PAN/PEI, CD-CNF1, CD-CNF2, CD-CNF3 et CD-CNF4 Figure 4. (a) L'angle de contact avec l'eau de PAN/PEI, CD-CNF1, CD-CNF2, CD-CNF3 et CD-CNF4; (b) permeance à l'eau permeance le contact avec l'eau de PAN/PEI, CD-CNF4 (b) permeance à l'eau permeance le contact avec l'eau de PAN/PEI, CD-CNF3 et CD-CNF4 (b) permeance l'eau de PAN/PEI, CD-CNF3 et CD-CNF4 (c) permeance l'eau de PAN/PEI, CD-CNF4 (c) contact avec l'eau de PAN/PEI, CD-CNF3, CD-CNF3 et CD-CNF4 (c) contact avec l'eau de PAN/PEI, cd co

Bénéficiant d'une hydrophilie améliorée et d'une porosité élevée, les membranes CD-CNF tous présentaient un flux d'eau étonnamment ultrarapide. Le flux perméat de CD-CNF1, CD-CNF2, Bénéficiant de l'hydrophilie améliorée et de la porosité élevée. Le flux perméat de CD-CNF1, CD-CNF2, Bénéficiant de l'hydrophilie améliorée et de la porosité élevée. Le flux perméat de CD-CNF1, CD-CNF2, Bénéficiant de l'hydrophilie améliorée et de la porosité élevée. Le flux perméat de CD-CNF1, CD-CNF2, Bénéficiant de l'hydrophilie au été calculé de CNF2, Genéficiant de la cyclodent de la cyclodent de la cyclodent de la struttuir de la struttuir de la struttuir de la cyclodent de la cyclodent de la cyclodent de la struttuir de la cyclodent de la cyclodent de la cyclodent de la struttuir de la cyclodent de la

un excellent rejet au-delà ଫ୍ୟୁମ୍ଡେ) (Figure 5a). Lorsque la concentration des colorants était fixée à 2,5 × 10−5 mol Les performances de rejet Class C. prestatintant értécétatitible iséptilé liemintation avapérieur expession de præmatapanets 2020-qui précède. colorants anioniques (Tropaleralira/DighnetignoeQermpitee, 2Darmhdesisted u Divre cle) Gelloworls/Inet controller de indicate feitre actifs à perméation Noir 5) (Figure 5a). Lorsque ou contentration resulting lorge par CD a CNF 3 on 1 May (Eigure 5b). Les deux types de Les membranes CD-CNF3 ont presente une efficacité de l'impraion superieure à 99 % contre les colorants cidessus, le tamisage incluant la cavité de HP-8-CD et le piégeage à travers la structure nanofibreuse. perméation ultrarapide. Par exemple, 20 mL de solution de Carmoisine ont été filtrés pour obtenir la porosité. En raison de son transit rapide et de son interaction minimale avec les contaminants, CD-CNF4, eau incolore par CD-CNF3 en 10 s (Figure 5b : Vidéo S1). Les deux types de séparation, les moins réticulés des trois, présentaient un faible taux de rejet de colorant, compris entre 30 et 00 %. la cavité du HP-β-CD et le giéggage à disverse la acqueité des la atriucitées na gelite que to le giéggage à disverse la acqueité de la cavité du HP-β-CD et le giéggage à disverse la acqueité de la cavité du HP-β-CD et le giéggage à disverse la acqueité de la cavité du HP-β-CD et le giéggage à disverse la acqueité de la cavité du HP-β-CD et le giéggage à disverse la acqueité de la cavité du HP-β-CD et le giéggage à disverse la acqueité de la cavité du HP-β-CD et le giéggage à disverse la acqueité de la cavité du HP-β-CD et le giéggage à disverse la acqueité de la cavité du HP-β-CD et le giéggage à disverse la acqueité de la cavité du HP-β-CD et le giéggage à disverse la acqueité de la cavité du HP-β-CD et le giéggage à disverse la cavité de la cav en raison de son transit ra Dd (Fédjule Sa9ai) tleaachtiergen idensalfeare et été détéamilmén (sa Ca) 4814-64 (le protein tiel raétae olin réticulé des trois, présentaintem britime saébaide tre patrojé con positive on quotis Feigtre 350100,600% DNGDNFÀ pleté, toutes les de la cavité de la cyclode Milies pobargé sincitivementa house le de apploméntation de l'applique l Les membranes CD-CNF1, CD-CNF2 et CD-CNF3 ont toutes presente un fort rejet contre un taux de rejet d'environ Royal de l'ejet de l'interestre d'interestre de l'interestre d'interestre de l'interestre d'interestre d'inte moins chargé positivement en raison de l'agglomération de l'argile. Les membranes CD-CNF1 et CD-CNF2 avec moins d'interaction électrostatique (moins de laponite) présentaient un taux de rejet modéré d'environ 80 % envers d'autres colorants, alors que dans CD-CNF3, la réticulation médiée par le sel

513 fois à un taux d'élimination remarquable et à un flux ultrarapide.

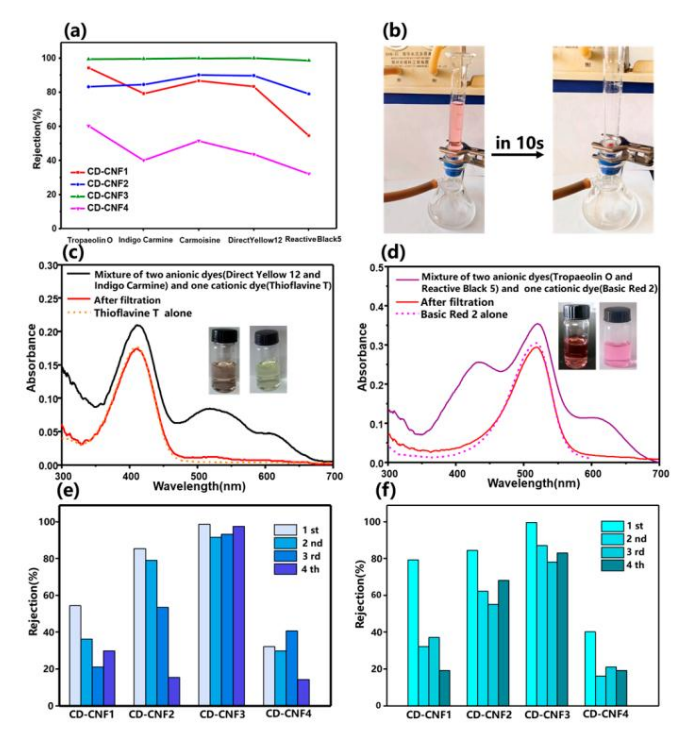


Figure 5. (a) Rejet des CD-CNF vers Tropaeolin O, Indigo Carmine, Carmoisine, Direct Figure 15. (a) Rejet des CD-CNF vers Tropaeolin O, Indigo Carmine, Carmoisine, Direct Yel-Figure 15. (a) Rejet des CD-CNF vers Tropaeolin O, Indigo Carmine, Carmoisine, Direct Yel-Figure 15. (a) Rejet des CD-CNF vers Tropaeolin O, Indigo Carmine, Carmoisine, Direct Yel-Figure 15. (a) Rejet des CD-CNF vers Tropaeolin O, Indigo Carmine, Carmoisine, Direct Yel-Figure 15. (a) Rejet des CD-CNF vers Tropaeolin O, Indigo Carmine, Carmoisine, Direct Yel-Figure 15. (a) Rejet des CD-CNF vers Tropaeolin O, Indigo Carmine, Carmoisine, Direct Yel-Figure 15. (a) Rejet des CD-CNF vers Tropaeolin O, Indigo Carmine, Carmoisine, Direct Yel-Figure 15. (a) Rejet des CD-CNF vers Tropaeolin O, Indigo Carmine, Carmoisine, Direct Yel-Figure 15. (a) Rejet des CD-CNF vers Tropaeolin O, Indigo Carmine, Carmoisine, Direct Yel-Figure 15. (a) Rejet des CD-CNF vers Tropaeolin O, Indigo Carmine, Carmoisine, Direct Yel-Figure 15. (a) Rejet des CD-CNF vers Tropaeolin O, Indigo Carmine, Carmoisine, Direct Yel-Figure 15. (a) Rejet des CD-CNF vers Tropaeolin O, Indigo Carmine, Carmoisine, Direct Yel-Figure 15. (a) Rejet des CD-CNF vers Tropaeolin O, Indigo Carmine, Carmoisine, Direct Yel-Figure 15. (a) Rejet des CD-CNF vers Tropaeolin O, Indigo Carmine, Carmoisine, Direct Yel-Figure 15. (a) Rejet des CD-CNF vers Tropaeolin O, Indigo Carmoisine, Direct Vers Tropaeolin O, Indigo Carmoisine, D solution low 12 et Reactive Black 5 (la concentration de colorants a été fixée à 2,5 × 10-5 mol L-1); équipement de filtration et photographie de Cambisine (10-5 mol L-1) avant et après filtration et photographie de Cambisine (10-5 mol L-1) avant et après filtration et photographie de Cambisine (10-5 mol L-1) avant et après filtration et photographie de Cambisine (10-5 mol L-1) avant et après filtration et photographie de Cambisine (10-5 mol L-1) avant et après filtration et photographie de Cambisine (10-5 mol L-1) avant et après filtration et photographie de Cambisine (10-5 mol L-1) avant et après filtration et photographie de Cambisine (10-5 mol L-1) avant et après filtration et photographie de Cambisine (10-5 mol L-1) avant et après filtration et photographie de Cambisine (10-5 mol L-1) avant et après filtration et photographie de Cambisine (10-5 mol L-1) avant et après filtration et photographie de Cambisine (10-5 mol L-1) avant et après filtration et après filtration et photographie de Cambisine (10-5 mol L-1) avant et après filtration et appear filtration: Spectre UV-Vis du mélange de Direct Yellow 12 (5 × 10-6 mol L-1.), Indigo Carmine Spectre Vis du mélange de Direct Yellow 12 (5 × 10-6 mol L-1), d'Indigo Carmin (5 × 10-6 mol L-1) et Thiofil vine 1 (10-5 mol L-1) avant et après filtration sur film CD-CNF3; (c) spectre UV-Visible du film; 10-n6étande de Reactive Back 519-610eld\_mbi et-Basick Redochébotén nouts ×11@venmet berés étinationasic Red aved OHF5 COLONF3 aven Setember 1914 training aven of the colon of the meruna basa (CREANE secretive estation). Receptive estation series (terreceptive estation series) meruna estation series (terreceptive estation series). cycle (f) Indigo Carmine en quatre cycles de filtration/régénération.

De plus, en raison de l'interaction de répulsion électrostatique, les membranes ont montré propretiétés de rejerritérie une enverades and continuent liques (Sigures at don districtes une enverades and continuent liques (Sigures at don districtes une enverades and continuent liques enverades e peude CDE necutilistées utilistées paratémantais production de la contraction de la Le CNEDaCNFC a étá teratéca til adenda anátange a doranteranta planta de extremente anioniques et un de voldynat da notaget cationique ale mesentane présentation de voldynat de notage de voldynat de notage de voldynat de voldynat de notage de voldynat 12, Meltitigo 12 almidige )Court iere Jaiost amt laisspaas protequié tour clei oraloriace traditionie (Tilottaliame T) dans le fil-le tauillmatulligue. Das Pesutégultatri primie lers est étéchteuve au martifié ente sympe de le plus antamétangés de actRetaResctive Black to Trobase to Ozifianie Sayl 2 (Einward) beach and France and execution of the contraction of the contrac la mennerare en 1885 (Vidéo S24) Les mennerares après diffration du conferant bourraient le des implement lavées lava ଏହେଥ୍ୟ କଥାଚିତ୍ର ଓଡ଼ିଆ ନିର୍ଦ୍ଦେଶ ନିର୍ଦ୍ଦେଶ ହେଥିବି ହେଥି ହେଥି । lava ଏହେଥି ଓଡ଼ିଆ କଥାଚିତ୍ର ହେଥିବି ହେଥିବି । la ure 5e, f), les membranes présentaient toplions a l'herei et de 7,97 % en vers le Reactive Black 5. De plus , la De Man hame CD-CNF3 présent ait également present approprié approprié approprié approprié autres colorants anioniques colorants en quatre cycles de filtration/régénération (Figure S12), avec un rejet de 98 % Versets opaeolin O Troparèsi Al-3 are excles de filtration d'affination de l'organité universelle des membranes pour la membranes pour la filtration des colorants anioniques.

# 3.3. Les propriétés antisalissure des CD-CNF

Les membranes de séparation commerciales présentant une hydrophobie inhérente subissent fréquemment un encrassement des biomacromolécules [34]. Cependant, l'hydrophilie de surface de notre rapport membranes a été considérablement augmentée. Il a été étudié comment le volume de solution BSA affecté la pénétration de la membrane en utilisant la BSA comme modèle de pollution par les biomacromolécules.

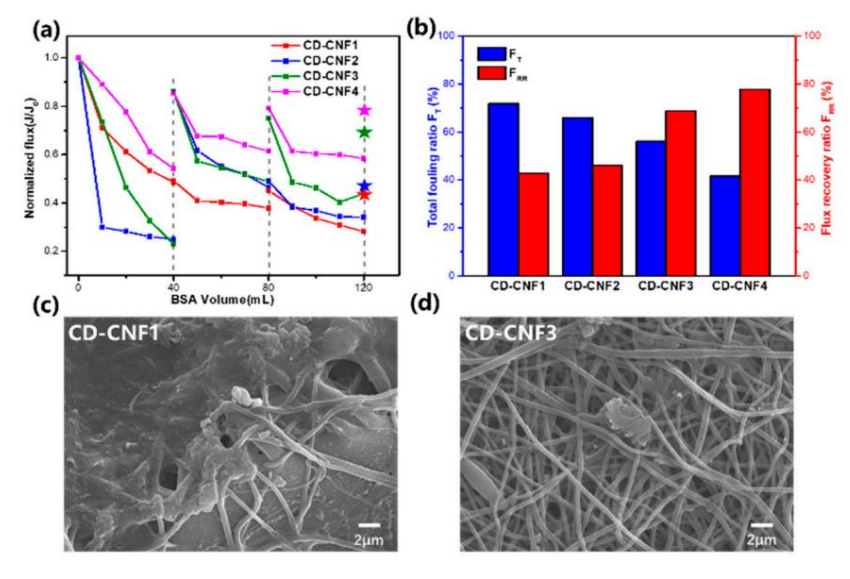
Chimie 2024. 6

membranes de séparation commerciales présentant une hydrophobicité inhérente subissent fréquemment un encrassement des biomacromolécules [34]. Cependant, l'hydrophilie de surface de nos membranes rapportées était significativement augmentée. Il a été étudié comment le volume de solution de BSA affectait la pénétration de

Is membrane en utilisant la BSA comme polluant biomacromoléculaire modèle. Avec l'augmentation de l'hydrophilie, les membranes CD-CNF3 et CD-CNF4 étaient importantes. Avec l'augmentation de l'hydrophilie, les membranes moifig 60/16/2016 et le CD-CNF3 et le CD-CNF3 sans la brand amination et l'hydrophilie, les membranes moifig 60/16/2016 et le CD-CNF3 sans la brand amination et l'hydrophilie, les membranes moifig 60/16/2016 et le CD-CNF3 sans la brand amination et l'hydrophilie, les membranes les est et l'augmentation de l'hydrophilie, les membranes moifig 60/16/2016 et le CD-CNF3 ans l'augmentation de l'hydrophilie, les membranes moifig 60/16/2016 et les membranes la brand et l'hydrophilie, les membranes moifig 60/16/2016 et le cD-CNF3 ans l'augmentation de l'hydrophilie, les membranes moifig 60/16/2016 et les membranes la brand et l'hydrophilie, les membranes moifig 60/16/2016 et les membranes la brand et l'hydrophilie, les membranes moifig 60/16/2016 et les membranes la brand et l'hydrophilie, les membranes moifig 60/16/2016 et les membranes la brand et l'hydrophilie, les membranes moifig 60/16/2016 et l

face du CD-CNF3 (Figure 6d) car la BSA a une faible compatibilité avec l'hydrophile mentrique 6d) car la RSA a une faible compatibilité avec l'hydrophile et ont tarilement de l'est ant de la carte d

Les membranes CD-CNF3 avaient des capacités antisalissure appropriées.



Figuralegura) Filiah 5 Huki ibo tradisé de Soluanta kang de tratament de tratament de diféresta (மெழுக்க), de BSA dan (1900 புக்க) பிருக்கு மெழுக்கு மிருக்கு மிருக்கும் மிருக

4. Discussion

4. Discussion En resumé, les membranes de nanofibres réticulées composées de HP-β-CD, PVA et

laponitan on the strengt de same of the strength of the stren

Documents supplémentaires: Les informations complémentaires suivantes peuvent être téléchargées sur https://www.mdpi.com/article/10.3390/chemistry6040029/s1, Figure S1: Spectres FTIR des membranes de substrat; Figure S2: SEM des membranes de substrat; Figure S3: Spectres XPS déconvolués au niveau de base C 1 pour les membranes CD-CNF2 et CD-CNF4, respectivement; Figure S4: Résultats SEM et diamètre des nanofibres distribution de CD-CNF; Figure S5: Images transversales de CD-CNF; Figure S6: Les résultats du SEM des membranes après trempage dans l'eau; Figure S7: La teneur en eau des membranes CD-CNF; Figure S8: Photographies de membranes préparées après filtration; Figure S9: Spectre UV-Vis de colorants anioniques après filtration des CD-CNF; Figure S10: Le potentiel zêta de surface des CD-CNF à pH 7;

Figure S11 : Spectre UV-Vis de colorants cationiques après filtration des CD-CNF ; Figure S12 : Rejet des membranes CD-CNF pour trois colorants en quatre cycles de filtration/régénération ; Tableau S1 : Perméances des CD-CNF pour trois types de solvants organiques ; Vidéo S1 : Le processus de filtration de la solution de Carmoisine par membrane CD-CNF3 ; Vidéo S2 : La séparation des colorants mixtes par membrane CD-CNF3.

Contributions des auteurs : Conceptualisation, XX et YC ; méthodologie, XX et YZ ; validation, XX ; analyse formelle, XX et YZ ; enquête, XX; ressources, XX ; conservation des données, XX ; rédaction – préparation du projet original, XX ; rédaction – révision et édition, XX, YC et YL ; administration du projet, YC et YL ; acquisition de financement, YC Tous les auteurs ont lu et accepté la version publiée du manuscrit.

Financement : Cette recherche a été financée par la Fondation nationale des sciences naturelles de Chine (subvention n° 22131008), le Laboratoire Haihe de transformation chimique durable et les Fonds de recherche fondamentale des universités centrales (Université de Nankai).

Déclaration de disponibilité des données : Les données présentées dans cette étude sont disponibles sur demande auprès de l' auteur correspondant.

Conflits d'intérêts : Les auteurs ne déclarent aucun conflit d'intérêts.

#### Les références

- 1. Lin, J.; Oui, W.; Xie, M.; SEO, DH; Luo, J.; Wan, Y.; Van der Bruggen, B. Impacts environnementaux et assainissement des eaux usées contenant des colorants. Nat. Révérend Earth Environ. 2023, 4, 785-803. [Référence croisée]
- 2. Shanker, U.; Rani, M.; Jassal, V. Dégradation des colorants organiques dangereux dans l'eau par les nanomatériaux. Environ. Chimique. Lett. 2017, 15, 623-642. [Référence croisée]
- 3. Tkaczyk, A.; Mitrowska, K.; Posyniak, A. Colorants organiques synthétiques en tant que contaminants du milieu aquatique et leurs implications pour les écosystèmes; une revue. Sci. Environ. Total. 2020. 717. 137222. [Réf. croisée] [Pub Med]
- 4. Samuchiwal, S.; Naaz, F.; Kumar, P.; Ahmad, SZ; Malik, A. Évaluation du cycle de vie de la technologie de réacteur anaérobie-aérobie séquentiel à base microbienne développée sur site pour le traitement des effluents textiles. Environ. Rés. 2023, 234, 116545. [Réf. croisée] [Pub Med]
- 5. Giannakis, S. Une revue des concepts, des avancées récentes et des applications de niche du (photo) procédé Fenton, au-delà du traitement de l'eau/des eaux usées : fonctionnalisation de surface, traitement de la biomasse, lutte contre le cancer et autres utilisations médicales. Appl. Catal.
  B Environ. 2019, 248, 309-319. [Référence croisée]
- 6. Yan, J.; Huang, Y.; Miao, oui; Tjiu, WW; Liu, T. Membranes poly(alcool vinylique/acide polyacrylique) électrofilées recouvertes de polydopamine comme adsorbant de colorant efficace avec une bonne recyclabilité. J. Hazard. Mater. 2015, 283, 730-739. [CrossRef]
- 7. Leudjo Taka, A.; Fosso-Kankeu, E.; Pillay, K.; Yangkou Mbianda, X. Nanoparticules métalliques décorées de nanotubes de carbone phosphorylés/nanoéponge de cyclodextrine pour l'adsorption de trichloréthylène et de colorant rouge Congo à partir des eaux usées. J. Environ. Chimique. Ing. 2020, 8, 103602. [Réf. croisée]
- 8. Sarkar, P.; Modak, S.; Karan, S. Nanofilms de polyamide ultrasélectifs et hautement perméables pour la nanofiltration ionique et moléculaire.

  Av. Fonction. Maître. 2021, 31, 2007054. [Réf. croisée]
- 9. Zhang, L.; Guan, H.; Zhang, N.; Jiang, B.; Soleil, Y.; Yang, N. Une membrane NF lâche en greffant des nanoparticules TiO2-HMDI sur Substrat PES/8-CD pour la séparation colorant/sel. Sept. Purif. Technologie. 2019. 218. 8-19. [Référence croisée]
- 10. Karki, S.; Gohain, MB; Yadav, D.; Thakare, NR; Pawar, RR; Hazarika, S.; Ingole, PG Construction de canaux de transport rapide de l'eau au sein de membranes nanocomposites à couches minces basées sur des nanofeuilles mésoporeuses 2D. Dessalement 2023, 547, 116222. [CrossRef]
- 11. Xu, W.; Chen, Y.; Xu, W.; Wu, X.; Liu, Y. Polymère de réticulation poreux autonettoyant orienté électrofilage pour des colorants efficaces Suppression. Av. Maître. Interfaces 2020, 7, 2001050. [CrossRef]
- 12. Zhang, W.; Zheng, Z.; Lin, L.; Zhang, X.; Bae, M.; Lee, J.; Xie, J.; Diao, G.; Je suis, H.-J.; Piao, Y.; et coll. Synthèse ultrarapide de la structure cyclodextrine-métal-organique intégrée au graphène pour l'absorption sélective supramoléculaire et les performances des supercondensateurs. Av. Sci. 2023, 10, 2304062. [CrossRef] [Pub Med]
- 13. Zhang, S.; Zhou, J.; Li, H. Membrane de nanocanaux remplie de cadre organique covalent chiral pour l'énantioséparation. Angew. Chimique. Int. Éd. 2022, 61, e202204012. [Référence croisée]
- 14. Zhang, S.; Boussouar, I.; Li, H. Détection sélective et transport dans un nanocanal bionique basé sur la chimie macrocyclique hôte-invité. Menton. Chimique. Lett. 2021, 32, 642-648. [Référence croisée]
- 15. Jiang, Z.; Dong, R.; Evans, AM; Bière, N.; Ebrahim, MA; Li, S.; Anselmetti, D.; Dichtel, WR; Livingston, AG Pores macrocycliques alignés dans des films ultrafins pour un tamisage moléculaire précis. Nature 2022, 609, 58-64. [Référence croisée] [Pub Med]
- 16. Alsbaiee, A.; Smith, BJ; Xiao, L.; Ling, Y.; Helbling, DE; Dichtel, WR Élimination rapide des micropolluants organiques de l'eau par un polymère poreux de β-cyclodextrine. Nature 2016, 529, 190-194. [Référence croisée] [Pub Med]
- 17. Huang, T.; Puspasari, T.; Nunes, SP; Peinemann, K.-V. Membranes de cyclodextrine ultra fines à couches 2D pour une nanofiltration de solvants organiques haute performance.

  Av. Fonction. Maître. 2020. 30. 1906797. [Réf. croisée]
- 18. Zhu, B.; Shao, R.; Li, N.; Min, C.; Liu, S.; Xu, Z.; Qian, X.; Wang, L. Progrès des membranes à base de cyclodextrine dans le traitement de l'eau : structure spéciale en forme de bol 3D pour obtenir une excellente séparation. Chimique. Ing. J. 2022, 449, 137013. [CrossRef]

- 19. Villalobos, LF; Huang, T.; Peinemann, K.-V. Films de cyclodextrine avec transport rapide de solvant et perméabilité sélective de forme.

  Av. Maître. 2017, 29, 1606641. [Réf. croisée]
- 20. Lui, Y.; Miao, J.; Jiang, Z.; Tu, K.; Yang, H.; Chen, S.; Zhang, R. Amélioration de la propriété antisalissure et du flux de perméat de la membrane de nanofiltration composite à fibres creuses à l'aide de la β-cyclodextrine. Sci. Rapport 2019, 9, 12435. [CrossRef]
- 21. Mao, H.; Zhang, H.; Li, Y.; Xue, Y.; Pei, F.; Wang, J.; Liu, J. Propriétés de perméation des solvants réglables de la membrane nanocomposite à couche mince en construisant des voies doubles à l'aide de cyclodextrines pour la nanofiltration de solvants organiques. ACS Maintenir. Chimique. Ing. 2015, 3, 1925-1933. [Référence croisée]
- 22. Gozali Balkanloo, P.; Mahmoudian, M.; Hosseinzadeh, MT Une étude comparative entre MMT-Fe3O4/PES, MMT-HBE/PES, et membranes à matrice mixte MMT-acide activé/PES. Chimique. Ing. J. 2020, 396, 125188. [CrossRef]
- 23. Wu, H.; Liu, Y.; Mao, L.; Jiang, C.; Ang, J.; Lu, X. Dopage d'une membrane d'ultrafiltration en polysulfone avec un nanohybride TiO2-PDA pour autonettoyage et autoprotection simultanés. J.Membre. Sci. 2017, 532, 20-29. [Référence croisée]
- 24. Shen, L.; Cheng, R.; Yi, M.; Hung, WS; Japip, S.; Tian, L.; Zhang, X.; Jiang, S.; Li, S.; Wang, Y. Membranes à base de polyamide avec homogénéité structurelle pour un tamisage moléculaire ultrarapide. Nat. Commun. 2022, 13, 500. [CrossRef]
- 25. Zhao, Q.; Liu, Y. Polymères mésoporeux réticulés par macrocycle pour une séparation ultrarapide des colorants organiques. Chimique. Commun. 2018, 54, 7362-7365. [Référence croisée]
- 26. Xu, W.; Li, G.; Qu, H.; Mac.; Zhang, H.; Cheng, J.; Li, H. L'élimination spécifique de l'acide perfluoroctanoïque à base de pilier [5] arène-Membrane nanocanal remplie de polymère. ACS Nano 2023, 17, 19305-19312. [Référence croisée]
- 27. Xu, W.; Chen, Y.; Liu, Y. Membranes poreuses nanofibreuses Janus à transfert d'eau directionnel pour la filtration des particules et l'adsorption de composés organiques volatils. Application ACS. Maître. Interfaces 2021, 13, 3109-3118. [Référence croisée] [Pub Med]
- 28. Zhang, W.; Chai, H.; Diao, G. Membrane nanofibreuse fonctionnalisée par cyclodextrine hautement poreuse par gravure acide. Surf sur les colloïdes. UN Physicochimie. Ing. Aspic. 2019, 582, 123907. [Référence croisée]
- 29. Celebioglu, A.; Uyar, T. Électrofilage de nanofibres à partir de systèmes non polymères : nanofibres sans polymères issues de cyclodextrine dérivés. À l'échelle nanométrique 2012, 4, 621-631. [Référence croisée]
- 30. Zhao, R.; Wang, Y.; Li, X.; Soleil, B.; Wang, C. Synthèse de membranes de nanofibres électrofilées à base de bêta-cyclodextrine pour une adsorption et une séparation très efficaces du bleu de méthylène. Application ACS. Maître. Interfaces 2015, 7, 26649-26657. [Référence croisée]
- 31. Li, R.; Dou, J.; Jiang, Q.; Li, J.; Xie, Z.; Liang, J.; Ren, X. Préparation et activité antimicrobienne du dérivé de β-cyclodextrine copolymères/nanofibres d'acétate de cellulose. Chimique. Ing. J. 2014, 248, 264-272. [Référence croisée]
- 32. Tang, Y.-J.; Shen, B.-J.; Huang, B.-Q.; Zhan, Z.-M.; Xu, Z.-L. Membranes de nanofiltration composites à couche mince à haute permsélectivité avec microstructure 3D fabriquées par incorporation de bêta-cyclodextrine. Sept. Purif. Technologie. 2019, 227, 115718. [Réf. croisée]
- 33. Shang, S.; Chiu, KL; Jiang, S. Synthèse d'éco-adsorbant alcool polyvinylique/cyclodextrine immobilisé et son application pour le élimination de l'ibuprofène des eaux usées pharmaceutiques. J.Appl. Polyme. Sci. 2017, 134, 44861. [Réf. croisée]
- 34. Ahmad, J.; Wen, X.; Li, F.; Wang, B. Nouvelles membranes modifiées par des nanoparticules d'argent triangulaires pour un antifouling amélioré performance. RSC Adv. 2019, 9, 6733-6744. [Référence croisée] [Pub Med]
- 35. Wang, Q.; Ju, J.; Tan, Y.; Hao, L.; Peut.; Wu, Y.; Zhang, H.; Xia, Y.; Sui, K. Synthèse contrôlée de membranes de nanofibres électrofilées d'alginate de sodium pour l'adsorption et la séparation multi-occasions du bleu de méthylène. Glucides. Polyme. 2019, 205, 125-134. [Référence croisée] [Pub Med]
- 36. Tian, H.; Yuan, L.; Wang, J.; Wu, H.; Wang, H.; Xiang, A.; Ashok, B.; Rajulu, AV Électrofilage d'alcool polyvinylique en nanofibres réticulées : une approche pour fabriquer un adsorbant fonctionnel pour les métaux lourds. J. Hazard. Maître. 2019, 378, 120751.

  [Référence croisée] [Pub Med]
- 37. Yadav, D.; Karki, S.; Gohain, MB; Ingole, PG Développement d'un procédé d'élimination des micropolluants à l'aide de membranes nanocomposites à couches minces préparées par une nouvelle méthode verte de polymérisation interfaciale en phase vapeur. Chimique. Ing. J. 2023, 472, 144940. [CrossRef]
- 38. Gruppuso, M.; Iorio, F.; Turco, G.; Marsich, E.; Porrelli, D. Pansements électrofilés à base d'acide hyaluronique et de chitosane modifié au lactose Points critiques de réticulation et de stabilité. Glucides. Polyme. 2022, 288, 119375. [Réf. croisée] [Pub Med]
- Prasannan, A.; Oudomsine, J.; Tsai, H.-C.; Wang, C.-F.; Lai, J.-Y. Membranes superoléophobes sous-marines robustes avec multicouches de carraghénane/laponite bioinspirées pour l'élimination efficace des émulsions, des ions métalliques et des colorants organiques des eaux usées. Chimique.
   Ing. J. 2020, 391, 123585. [CrossRef]
- 40. Yang, X.; Lin, L.; Liu, Z.; Yang, J.; Cheng, Q.; Maman, W.; Xu, M.; Tang, F.; Wang, Q.; Li, X.; et coll. Préparation de membranes en polyimide résistantes aux solvants pour une séparation efficace des colorants et des sels via une stratégie de « entraînement interne ». Sept. Purif. Technologie. 2024, 332, 125843, [Réf. croisée]

Avis de non-responsabilité/Note de l'éditeur : Les déclarations, opinions et données contenues dans toutes les publications sont uniquement celles du ou des auteurs et contributeurs individuels et non de MDPI et/ou du ou des éditeurs. MDPI et/ou le(s) éditeur(s) déclinent toute responsabilité pour tout préjudice corporel ou matériel résultant des idées, méthodes, instructions ou produits mentionnés dans le contenu.